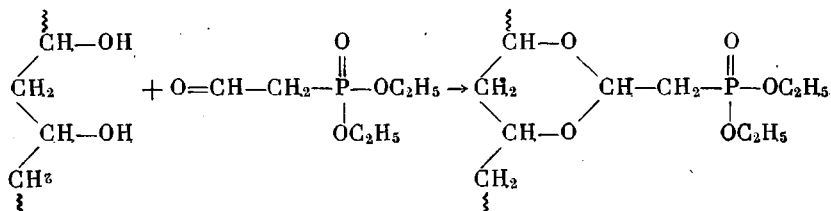


УДК 541.64:678(744+86)

О ДИЭТИЛФОСФОНАЦЕТАЛЯХ ПОЛИВИНИЛОВОГО СПИРТА

**Я. А. Левин, Л. Х. Газизова, Т. А. Ягфарова,
В. И. Коваленко, Б. Я. Теймельбаум**

Известны трудности получения линейных фосфорсодержащих полимеров высокого молекулярного веса [1]. Перспективным в этом отношении является метод полимераналогичных превращений, однако только в том случае, если соответствующая химическая реакция протекает в достаточно мягких условиях и не сопровождается побочными процессами. Этим требованиям отвечает ацетилирование поливинилового спирта (ПВС). Настоящее сообщение посвящено получению и некоторым свойствам частично ацетилированного диэтилфосфонатальдегидом (ДЭФА) ПВС:



Экспериментальная часть

Раствор 0,48 г ПВС, 0,5 мл трифтторуксусной кислоты и 0,10—1,50 г ДЭФА в 16 мл воды нагревали при перемешивании 10 час. при 60°. Опалесцирующий раствор выливали в большой избыток сильно перемешиваемого ацетона, полимер осаждался в виде упругой белой каучукоподобной массы; выход 85—100% от рассчитанного с учетом экспериментально найденной степени ацеталирования. Для очистки полимер дополнительно переосаждали из воды в ацетон, далее измельчали, сушили в вакууме при 60° до постоянного веса и анализировали на фосфор (таблица). Повторные переосаждения не приводили к изменению содержания фосфора. Использовали ПВС с $M_n = 90\,000$; ДЭФА синтезировали по [2], который непосредственно перед употреблением перегоняли, трифтторуксусную кислоту очищали перегонкой.

Зависимость содержания фосфора и степени апеталирования ПВС от исходной концентрации ДЭФА

Образец *, №	$[\Pi\varTheta\Phi A]_0$ $M \cdot 10^3$	$P, \%$	Степень ацетилирования	
			вес. %	мол. %
2	0,55	1,68; 1,49	12,7	4,9
3	1,11	2,90; 3,12	24,2	10,1
4	2,78	5,20; 5,40	42,6	20,7
5	4,16	6,14; 5,99	49,0	22,4
6	5,55	7,16; 7,33	58,3	33,0
7	6,94	7,65; 7,63	61,5	36,0
8	8,28	8,15; 8,10	65,4	40,0

* № 1 — ПВС (исходный)

Исследование термомеханических свойств полиацеталей проводили на автоматической регистрирующей установке [3], скорость нагрева составляла 2 град/мин. Таблетки для испытания готовили методом горячего прессования с последующим отжигом.

ИК-спектры были получены на спектрофотометре UR-10. Образцы готовили в виде пленок из водных растворов полимеров отливкой на стекле, после чего пленку помешали между пластиинками из КВг. Спектры при повышенных температурах снимали в термостатированной кювете.

Результаты и их обсуждение

Все исследованные * фосфорсодержащие ацетали ПВС растворимы в воде, что свидетельствует об отсутствии заметного межмолекулярного ацетилирования. Из данных, представленных на рис. 1, видно, что степень ацетилирования за принятное время реакции растет с увеличением количества ДЭФА, в то время как степень завершенности реакции имеет минимум около эквимолекулярного соотношения, что должно наблюдаться для бимолекулярной реакции.

Полученные термомеханические кривые (ТМК) представлены на рис. 2. Для ПВС наблюдается очень пологий подъем в области размягчения, что затрудняет определение температуры стеклования T_c . Была также записана ТМК с переменным нагружением (рис. 3, кривая 1), на которой отчетливо видно постепенное возрастание эластической деформации в этой области.

Полиацеталь с наименьшим содержанием фосфора до температуры $\sim 150^\circ$ по термомеханическим свойствам мало отличается от ПВС. При более высокой температуре начинаются процессы, обусловливающие обратный ход кривой, причиной которого является всучивание образца. Оно происходит вследствие интенсивного выделения газа, по-видимому, паров воды в результате дегидратации ПВС, приводящей, как известно, к структурированию.

У полиацеталей, содержащих 10% и выше ацетальных групп, T_c проявляется отчетливо; она почти одинакова для всех исследованных образцов и составляет 50° . На ТМК этих полиацеталей выше T_c наблюдается резкое замедление подъема. При невысоком содержании ацетальных групп на кривых возникает горизонтальная площадка, соответствующая высокоэластическому состоянию. Такая площадка хорошо видна, например, на кривой 4; пластические деформации в этом случае развиваются лишь выше 120° . Однако при дальнейшем подъеме температуры эти деформации прекращаются и на ТМК образуется новая площадка, связанная, как будет показано, с ожесточением полимера. В конце этой второй площадки наблюдается обратный ход деформации, как и для исходного ПВС в этой же температурной области. Интересно заметить, что по мере увеличения степени ацетилирования первая площадка становится все менее четко выраженной, что можно объяснить развитием пластических деформаций уже при температурах, близких к точке стеклования. Наблюдаемое в конце второй площадки всучивание при этом уменьшается;

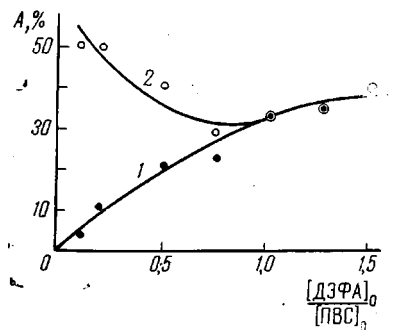


Рис. 1. Зависимость степени (1) ацетилирования и завершенности реакции (2) от исходного соотношения реагентов $[ДЭФА]_0 / [ПВС]_0$. ($[ПВС]_0$ рассчитана на два элементарных звена)

* Растворы, образующиеся при ацетилировании в условиях

$[ДЭФА]_0 / [ПВС]_0 > 1,5$,

склонны к желатинированию, и соответствующие продукты в этом сообщении не рассматриваются.

на кривых полимеров с наибольшими степенями ацеталирования обратного хода деформации уже не наблюдается. Это может явиться результатом уменьшения числа гидроксильных групп в цепи, вследствие чего отщепление воды идет менее интенсивно. Площадки на кривых выше 200° отвечают структурированному состоянию полимера, который при 300—350° разлагается. Температура разложения тем ниже, чем выше степень ацеталирования.

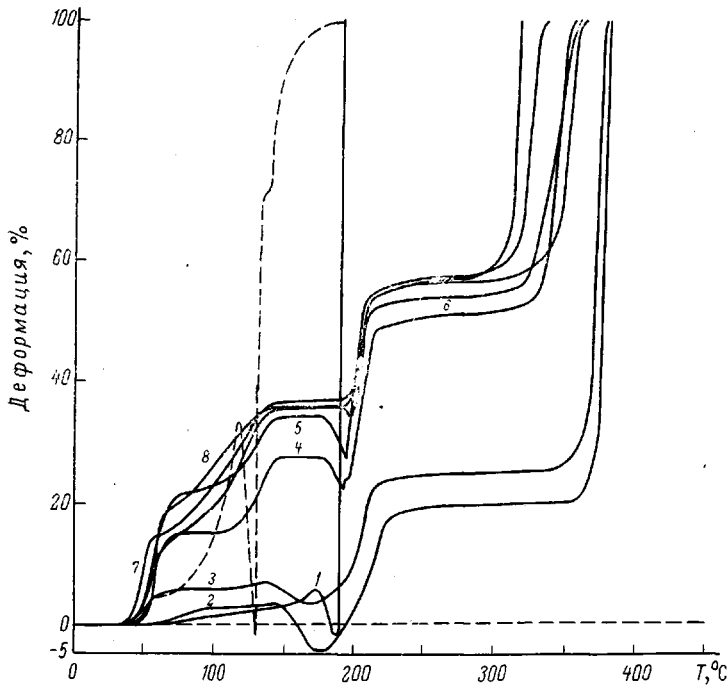


Рис. 2. Термомеханические кривые фосфорсодержащих ацеталей ПВС. Цифры на кривых соответствуют номерам образцов в таблице. 1 — ПВС; пунктир — этилаль ПВС. Нагрузка 3,2 кГ/см²

Чтобы разобраться в сложном характере полученных ТМК, были записаны также кривые при периодическом нагружении (рис. 3). Из приведенных кривых видно, что высокоэластическая деформация фосфорсодержащего ацетала значительно больше, чем у ПВС, и увеличивается с температурой, достигая максимальной величины около 130°, где наблюдается развитие и необратимых пластических деформаций. Заметим, что эта температура совпадает с указываемой в литературе температурой интенсивного разрушения водородных связей [4]. Затем высокоэластическая деформация уменьшается, что можно объяснить начинаяющимися процессами структурирования. В этой области температур на ходе кривой сказываются также вспучивание образца и начинающееся течение, столь характерное для чистого ПВС, которое, однако, вскоре полностью прекращается. В результате образуется спитая структура, не обладающая пластическими и эластическими свойствами, о чем свидетельствует горизонтальная площадка в интервале от 210 до 300°. Далее начинается разложение спитого полимера с образованием вязкоэластической массы.

Можно представить следующее объяснение изменений термомеханических свойств при переходе от ПВС к его ацеталированным производным, содержащим фосфор. Жесткость ПВС обусловлена, как известно, наличием в его цепи гидроксильных групп, образующих большое число межмолекулярных водородных связей. Ацеталирование ПВС с введением в его цепь заместителей большого объема приводит к взаимному от-

далению молекулярных цепей, препятствуя осуществлению таких водородных связей, несмотря на значительное число оставшихся незамещенными гидроксильных групп. Молекулы приобретают возможность к значительным деформациям, чему способствует также возрастание свободного объема вследствие затруднения упаковки цепей с громоздкими заместителями. Этому соответствует наблюдаемое увеличение деформируемости в высокоэластическом состоянии с возрастанием степени аце-

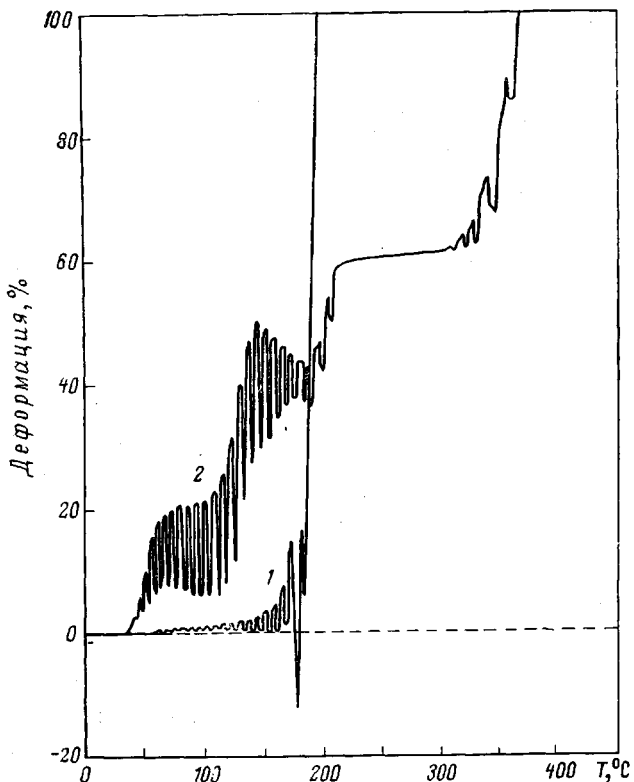
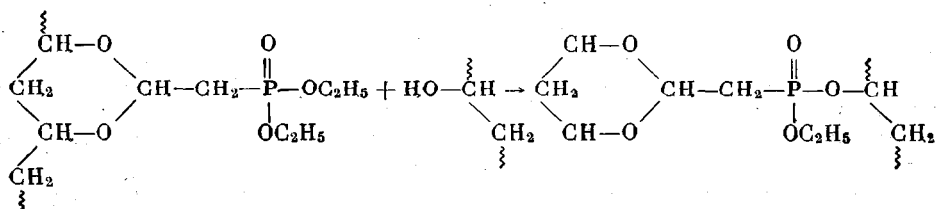


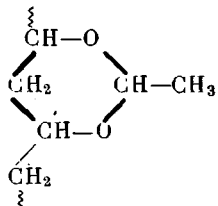
Рис. 3. Термомеханические кривые при периодическом нагружении:
 1 — ПВС; 2 — фосфорсодержащий ацеталь 4; нагрузки 7,04 и 0,64 кг/см² чередовались каждые 2 мин.

тилизации. Постепенное вырождение площадки, соответствующей высокозластическому состоянию на рис. 2, свидетельствует об ослаблении при возрастании степени ацетилирования межмолекулярных взаимодействий, препятствующих пластическим деформациям. Ожестчение, которому соответствуют вторые площадки на ТМК полиацеталей (в области 150—200°), и не наблюдаемое для самого ПВС, можно объяснить дополнительными возможностями структурирования за счет переэтерификации фосфоновых групп гидроксильными группами соседних молекул:



На рис. 2 приведена также ТМК поливинилэтилая (степень ацетали-

рования 47%), полученного из того же образца ПВС:



Сопоставление ее с ТМК ПВС, с одной стороны, и с фосфорсодержащими ацеталиями — с другой позволяет оценить специфический вклад, вносимый в изменение термомеханических свойств фосфорной группировкой.

Ход ТМК этиала ПВС при относительно низких температурах мало отличается от наблюдаемого для фосфорсодержащих ацеталей; температура стеклования его также близка к 50°. Все это указывает на то, что

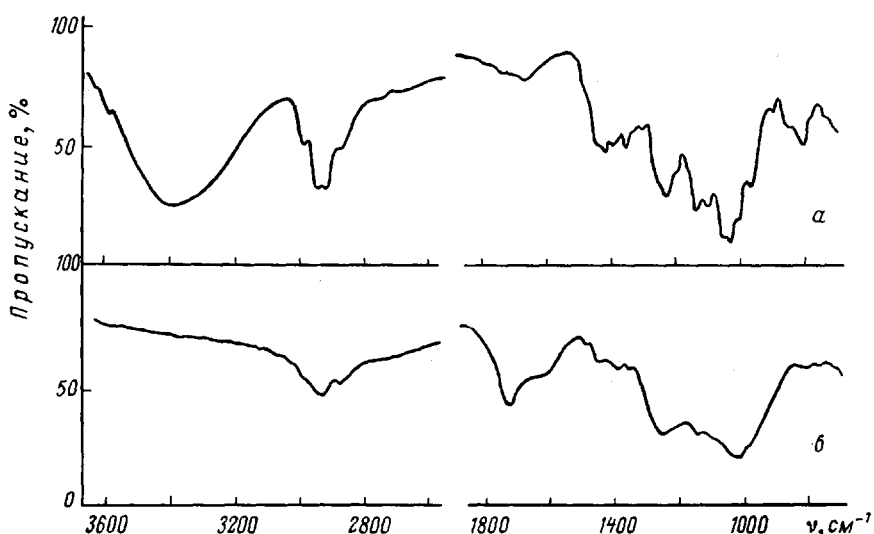


Рис. 4. ИК-спектры фосфорсодержащего ацетала 4, полученные при комнатной температуре до термообработки (a) и после выдержки при 190° в течение 1 часа (б)

изменение вида ТМК при переходе от ПВС к ацеталиям обусловлено увеличением расстояния между цепями и ослаблением межмолекулярных водородных связей. Большая величина высокомодульной деформируемости фосфорсодержащих ацеталей при высоких степенях ацеталирования по сравнению с этиалем объясняется большим объемом заместителей. Около 120° ТМК этиала на фоне развивающегося течения обнаруживает обратный ход деформации, свидетельствующий о деструкции с газовыделением, вызывающим всучивание образца. Интересно, что это явление начинается при температуре более низкой, чем у ПВС и его фосфорсодержащего ацетала. В последнем случае, как отмечалось, развитию течения образца препятствует процесс ожесточения. Отсутствие аналогичного явления для этиала ПВС при рассматриваемых температурах свидетельствует в пользу высказанного предположения, что ожесточение обусловлено специфическими реакциями фосфорсодержащих групп.

Данные спектрального исследования согласуются с выводами, сделанными в результате анализа ТМК. ИК-спектры образцов со степенями ацеталирования 20—40% очень близки между собой и лишь незначительно различаются по относительным интенсивностям некоторых полос. От ИК-спектра самого ПВС [5] они отличаются присутствием ряда новых полос, связанных с введением новых группировок в макромолекулы (рис. 4). Широкая полоса поглощения, отнесенная к валентному колебанию

нию OH-группы, связанной водородной связью, имеет максимум около 3400 см^{-1} , в отличие от 3340 см^{-1} для ПВС, что может свидетельствовать о некотором ослаблении таких связей. Особенно заметные различия наблюдаются в области 1000 — 1250 см^{-1} . Полосы 1007 , 1032 , 1055 , 1200 см^{-1} могут быть связаны с валентными колебаниями группировок $\nu(\text{C}-\text{O}-\text{C})$ и $\nu(\text{P}-\text{OC})$ [6—7]. Полоса около 1230 см^{-1} , очевидно, относится к валентному колебанию $\nu(\text{P}=\text{O})$. Валентному колебанию $\nu(\text{PO}-\text{C})$ может быть приписана полоса 973 см^{-1} , а полосы в области 2880 и 2990 см^{-1} обязаны своим появлением валентным колебаниям $\nu_s(\text{CH}_3)$ и $\nu_a(\text{CH}_3)$ соответственно. Слабая полоса 1660 см^{-1} связана с деформационными $\delta(\text{OH})$ -колебаниями в молекулах воды, присутствующей в образцах в виде влаги.

Для температурных исследований были выбраны два образца со степенью ацетилирования $20,7$ и $40,0\%$. Были получены ИК-спектры в интервале температур от комнатной до 190° . Образец находился при заданной температуре в течение 35 — 40 мин. во время регистрации спектра. Затем его охлаждали до комнатной температуры, при которой снова снимали спектр, после чего вновь повышали температуру образца и т. д. При этом обнаружено, что при повышении температуры до 170° в ИК-спектрах обоих образцов не наблюдается заметных изменений, за исключением исчезновения полосы 1660 см^{-1} и сдвига полосы $\nu(\text{OH})$ на 50 — 60 см^{-1} в высокочастотную область с восстановлением ее при охлаждении. Однако при 180° и выше наблюдается появление полос около 1600 и 1725 см^{-1} , а также исчезновение полосы OH-валентных колебаний. Эти эффекты связаны, по-видимому, с появлением в результате термодеструкции участков цепей с C=C-сопряженными связями и C=O-группами, как это показано и для самого ПВС [8].

Что касается структурных изменений, вызывающих некоторое ожесточение фосфорсодержащих ацеталей в области 150° , то их проявление может быть далеко за пределами чувствительности спектральной методики.

Выводы

1. Получены ацетали поливинилового спирта и диэтилфосфонакетальдегида.

2. Методами термомеханики и ИК-спектроскопии исследованы процессы, протекающие при нагревании этих полиацеталей.

Институт органической и физической химии им. А. Е. Арбузова АН СССР

Поступила в редакцию
10 III 1969

ЛИТЕРАТУРА

1. M. Sander, E. Steininger, J. Makromolek. Sci., C1, 1, 1967.
2. И. Ф. Луценко и др., Ж. общ. химии, 32, 263, 1962.
3. Б. Я. Тейтельбаум, Передовой научно-технический и производственный опыт, ЦИТЭИН, серия 32, № П-61-4/2, 1961.
4. С. Н. Ушаков, Поливиниловый спирт и его производные, изд-во «Наука», 1960, стр. 266.
5. С. Кримм, С. Лянг, Дж. Сазерленд, Сб. Физика полимеров, под ред. М. В. Волькенштейна, Изд-во иностр. лит., 1960.
6. L. C. Thomas, R. A. Chittenden, Spectrochim. Acta, 20, 489, 1964.
7. Л. Беллами, Инфракрасные спектры сложных молекул, Изд-во иностр. лит., 1963.
8. Л. В. Смирнов и др., Высокомолек. соед., A9, 2515, 1967.

DIETHYLPHOSPHONACETALS OF POLYVINYL ALCOHOL

Ya. A. Levn, L. Kh. Gazizova, T. A. Yagfarova,
V. I. Kovaleko, B. Ya. Tettelbaum

Summary

Using acetalation of polyvinyl alcohol (PVA) with diethylphosphonacetaldehyde, water soluble polymers with phosphorous content up to 8% have been prepared. As shown by thermomechanical and infrared method, high elastic deformation of the polymers with 10% acetal groups and more are better developed than in pure PVA due to decrease of intramolecular interaction. Increase of toughness at 150 — 200°C observed for the polymers with more than 20% of acetal groups is attributed to structuration due to dehydration and possibly to reesterification of the phosphonic groups with the adjacent hydroxyl groups.